

сообщения  
объединенного  
института  
ядерных  
исследований  
дубна

1234 / 2-81

9/III-81  
13-80-769

В.М.Головин, В.В.Кондратьев, А.Г.Федунов

о диагностике ускоренных ионов  
азота по остаточной активности  
в мишенях при малой энергии ионов

1980

## ВВЕДЕНИЕ

Целью настоящей работы было создание установки для диагностики пучка КУТИ<sup>1/</sup> по остаточной активности мишени. Для этого были рассмотрены возможные для пучка ионов азота реакции и выбраны материалы мишеней, а также определен выход реакций в зависимости от толщины мишеней и энергии ионов. При создании аппаратуры основное внимание уделялось точности, оперативности измерений, простоте пользования. Установка выполнена в виде блока детекторов, подключаемого к аппаратуре в крейте КАМАК. Используемая электронная аппаратура разработана в Отделе новых методов ускорения.

В основу измерений был положен широко применяемый на ускорителях метод пороговых ядерных реакций, который позволяет при одновременном облучении тонкой и толстой мишени получать информацию о числе и энергии ускоренных ионов в одном цикле ускорения. Для расширения диапазона измерения энергии ионов и увеличения выхода были выбраны реакции с низким порогом по энергии на легких ядрах:



Сечения реакций /1/-/5/ представлены на рис. 1. Реакцией с наименьшим порогом является реакция /1/, реакцией с наибольшим выходом - /4/. Выход реакции нашли расчетным путем, используя проинтегрированное по пути частицы сечение. Необходимая для расчета зависимость энергии иона от пути, пройденного им в мишени, была определена из зависимости пробега от энергии, построенной для  $\alpha$ -частиц, путем пересчета ее к данным ионам. Результаты расчетов выхода реакций в толстой мишени иллюстри-

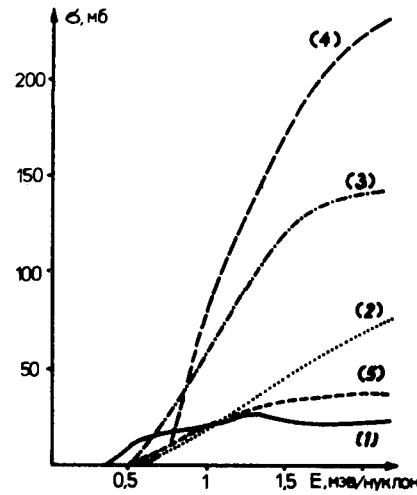


Рис.1. Сечения реакций /1/ ... /5/.

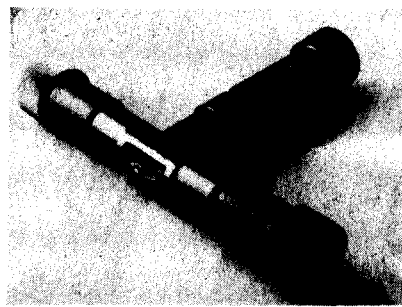


Рис.2. Блок детекторов установки.

Таблица  
Выход реакций в толстой мишени

Энергия МэВ/нуклон	Выход				Реакции /4/
	/1/	/2/	/3/	/4/	
0,50	15	-	-	-	
0,70	43	8	28	10	
1,03	110	68	200	190	
1,37	220	220	630	800	
1,70	330	500	1350	1700	
1,96	413	820	2050	2600	

Приведено количество актов реакций на  $10^8$  падающих ионов азота.

рутся таблицей. Расчет показал, что вклад побочных реакций в активность мишени несущественен вследствие малого выхода и больших периодов полураспада продуктов этих реакций.

### СХЕМА УСТАНОВКИ

Для обеспечения точности измерения величины активности установка работает по методу  $\beta$ - $\gamma$ -совпадений /что не исключает возможности непосредственных измерений по одному из каналов//<sup>2</sup>.

Блок детекторов /рис. 2/ состоит из двух сцинтилляторов и трёх фотоумножителей. Два быстрых фотоумножителя ФЭУ-87 "просматривают" пластический сцинтиллятор, во внутренней полости которого помещена исследуемая мишень /рис. 3/. При помощи этого детектора осуществляется регистрация бета-частиц с фильтрацией шумов фотоумножителей на самосовпадениях. Гамма-кванты, рождающиеся при аннигиляции позитрона в пластическом сцинтилляторе, регистрируются с помощью кристалла NaJ и фотоумножителя ФЭУ-85. На выходе этого фотоумножителя имеется RC-фильтр, подавляющий быстрые импульсы шумов ФЭУ, средняя амплитуда которых становится существенно ниже порога формирователя, и одновременно сглаживающий форму медленного импульса от сцинтилляции.

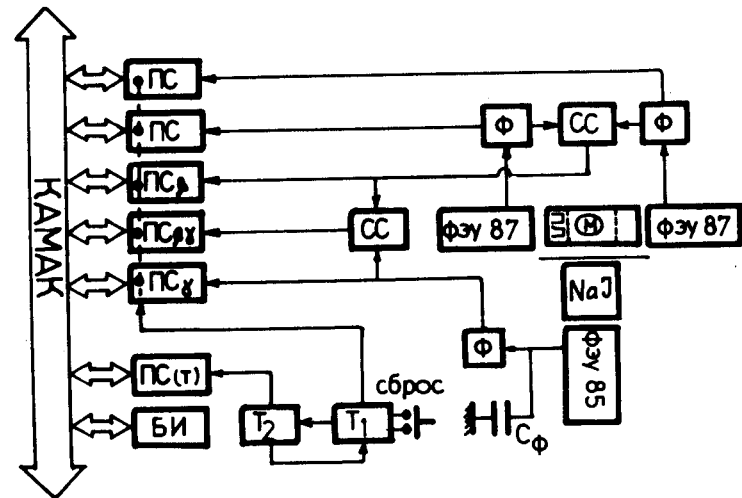


Рис.3. Схема электронной аппаратуры: Ф - формирователь; М - мишень; Т - таймер; ПС - пересчетная схема; БИ - блок индикации; ПЛ - пластический сцинтиллятор; СС - схема совпадений.

Генератор-таймер  $T_1-T_2$  стробирующим импульсом длительностью  $T_1$  открывает пересчетные схемы и по его окончании в течение стробирующего импульса  $T_2$  инициирует считывание с них числа зарегистрированных событий в каналах бета, гамма-и бета-гамма-совпадений за истекший интервал  $T_1$  и текущего времени, задаваемого числом циклов генератора-таймера. По окончании импульса  $T_2$  пересчетные схемы /за исключением счетчика времени/ "очищаются", и цикл счета повторяется. В случае автономной работы увеличение  $T_2$  дает возможность записи показаний блока индикации БИ в каждом цикле генератора таймера без вмешательства в процесс измерения.

Считываемая информация накапливается в ЭВМ М-6000 с одновременным выводом для оперативного контроля<sup>4/</sup>. Обработанные ЭВМ результаты измерения включают величину активности в момент активации, период полураспада, график изменения величины активности во времени.

#### РЕЗУЛЬТАТЫ ИЗМЕРЕНИЙ

В качестве контрольной в измерениях использовалась активность изотопа  $^{22}\text{Na}$ . Как известно, величина измеряемой активности в методе  $\beta-\gamma$ -совпадений

$$A = C \cdot \frac{N_\beta N_\gamma}{N_{\beta\gamma}},$$

где С - постоянная, характеризующая схему распада;  $N_\beta$ ,  $N_\gamma$  и  $N_{\beta\gamma}$  - скорость счета в каналах бета, гамма-и бета-гамма-совпадений соответственно. Как следует из схемы распада  $^{22}\text{Na}$ <sup>3/</sup>,

$$C = \frac{\epsilon_1 + 2\epsilon_2(1-\epsilon_1)}{\epsilon_1 + 2\epsilon_2 W_\beta (1-\epsilon_1)},$$

где  $\epsilon_1$  и  $\epsilon_2$  - эффективность регистрации ядерных и аннигиляционных гамма-квантов соответственно;  $W_\beta$  - вероятность испускания позитрона. В нашем случае  $\epsilon_1, \epsilon_2 \ll 1$ ;  $C = \frac{\epsilon_1/\epsilon_2 + 2}{\epsilon_1/\epsilon_2 + 1,81}$  и  $\epsilon_1/\epsilon_2$  взято равным отношению эффективностей "поглощения" соответствующих  $\gamma$ -квантов веществом сцинтиллятора, при этом  $C = 1,075$ . Контрольные измерения проведены при различных величинах коэффициента усиления фотоумножителей в диапазоне эффективности  $\gamma$ -канала  $0,3 \div 4\%$  и  $\beta$ -канала -  $3 \div 11\%$ . Счетная характеристика установки /рис. 4/ имеет плато в области изменения эффективности одновременно как в  $\gamma$ -канале/в пределах  $1,7 \div 3,4\%$ ,

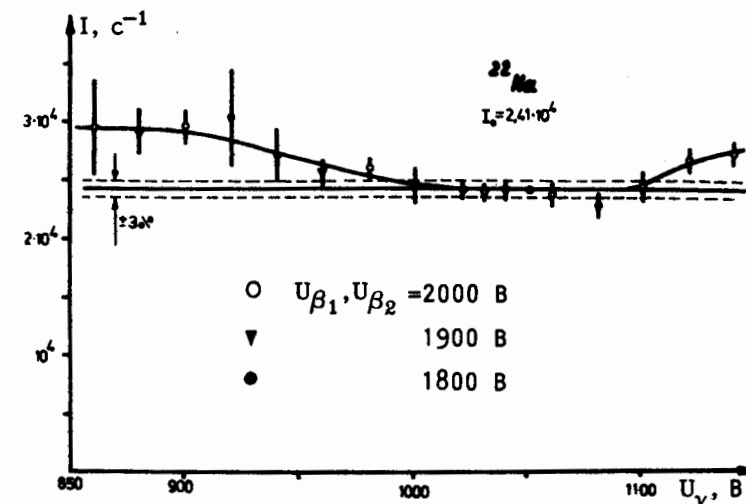


Рис.4. Счетная характеристика установки.

так и в  $\beta$ -канале  $/3 \div 11\%$ . Отклонение уровня плато от величины контрольной активности существенно меньше ее паспортной погрешности, равной 3%. Чувствительность установки определяют преимущественно геометрическая эффективность  $\gamma$ -детектора  $/2\%$  и фотоновые источники, куда входят естественная радиоактивность вещества сцинтиллятора, космическое излучение и шумы ФЭУ. В случае пластического сцинтиллятора первый источник имеет уровень регистрации  $\sim 1 \text{ c}^{-1}$  на каждые 20 г массы сцинтиллятора и практически преобладает над другими источниками. Чувствительность установки, приведенная для соотношения сигнал/фон=1, наилучшая вблизи начала плато  $/400 \text{ c}^{-1}$  и ухудшается  $/$ до  $750 \text{ c}^{-1}$  в конце плато. В случае необходимости чувствительность легко может быть улучшена в 10-20 раз в результате замены кристалла NaJ  $25 \times 40 \text{ mm}^2$  на больший по размерам.

Характерный пример измерения позитронного распада ядер  $^{15}\text{O}$ , образующихся на пучке ионов азота циклотрона Лаборатории ядерных реакций в мишени из дейтерированного полиэтилена, иллюстрируется рис. 5.

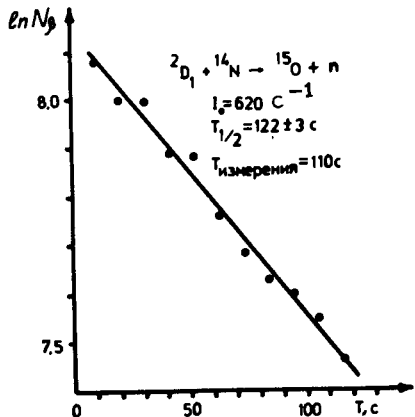


Рис. 5. Регистрация распада ядер  $^{15}\text{O}$ .

## ЛИТЕРАТУРА

1. Барабаш Л.С. и др. ОИЯИ, Р9-7697, Дубна, 1974.
2. Экспериментальная ядерная физика /под ред. Э. Сегре/. ИИЛ, М., 1961, т. 3.
3. Джелепов Б.С., Пекер Л.К. Схемы распада радиоактивных ядер. "Наука", М.-Л., 1966.
4. Беспалова Т.В. и др. Р13-8271, Р13-8272, Дубна, 1974.

Рукопись поступила в издательский отдел  
27 ноября 1980 года.